

九州大学工学部 正員 上田 年比古

・ 神野 健二
○ 柳井 和朗

まえがき 河川や沿岸域における移流分散現象の解明は水域の水質保全対策上重要な問題として、従来より数多く研究されている。剪断流、逆流の移流分散係数の評価¹⁾あるいは注入物質の空間分布の経時変化の研究^{2),3)}は移流分散現象の基本的性質さらにはより局所的な性質の解析を目的としているものと言えよう。ところで、このような移流分散の数値計算に適用される差分法には従来より種々提案されてきたが⁴⁾、N.Yotsukura⁵⁾が述べているように移流項が卓越する剪断乱流中での拡散に対してはこの項で発生する離散化誤差が問題となる。本報では、粒子移動法⁶⁾により2次元移流分散方程式を数値計算し、適用上の問題点について2,3検討した。

計算方法について 次の方程式を考慮する。 $\partial C/\partial t + u\partial C/\partial x = \partial C/\partial t = \partial(K_x \partial C/\partial x)/\partial x + \partial(K_y \partial C/\partial y)/\partial y$... (1)

図-1のように固定格子点 (i, j) の領域 $S_{ij} = [x_i - \frac{\Delta x}{2}, x_i + \frac{\Delta x}{2}] \times [y_j - \frac{\Delta y}{2}, y_j + \frac{\Delta y}{2}]$ で

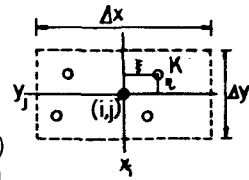


図-1 (i, j) 領域内の粒子(白丸)

表わす。ここに $\Delta x, \Delta y$ は固定格子差分間隔、 (x_i, y_j) は (i, j) 点の x, y 座標である。記号 $[\]$ は座標区間を表わす。いま、 S_{ij} に含まれる粒子 K の濃度 $C^k(K)$ (n はtime step)の算術平均値を \bar{C}_{ij}^n とする。各格子点について算術平均値を求め、式(1)の式を次のように離散化する。 $\delta C_{ij}^n = \Delta t [K_x (\bar{C}_{i+1, j}^n - 2\bar{C}_{ij}^n + \bar{C}_{i-1, j}^n) / \Delta x^2 + (K_x(u_{i+1}) - K_x(u_i)) \times (\bar{C}_{i+1, j}^n - \bar{C}_{i, j}^n) / 4\Delta x^2 + K_y (\bar{C}_{i, j+1}^n - 2\bar{C}_{ij}^n + \bar{C}_{i, j-1}^n) / \Delta y^2 + (K_y(v_{j+1}) - K_y(v_j)) \times (\bar{C}_{i, j+1}^n - \bar{C}_{i, j-1}^n) / 4\Delta y^2]$... (2)

次に図-1に示す粒子 K は固定格子点 (i, j) の座標 (x_i, y_j) と変位 $\xi = x_i - x^k(K)$, $\eta = y_j - y^k(K)$ (ここに、 $x^k(K), y^k(K)$ は粒子 K のtime step n における x, y 座標)を生じているので、 δC_{ij}^n を修正する必要があるので。例えは粒子 K が領域 S_{ij} の第1象限にあるときは、 $\delta C(x^k(K), y^k(K)) = \delta C_{ij}^n + \partial \delta C / \partial x |_{ij}^n \cdot \xi + \partial \delta C / \partial y |_{ij}^n \cdot \eta$... (3)

ここに記号は右側 $(y$ 方向)については上側微分を表わす。ex. $\partial \delta C / \partial x |_{ij}^n = (\delta C_{i+1, j}^n - \delta C_{ij}^n) / \Delta x$ etc. したがって粒子 K の新しいtime stepでの濃度は $C^{n+1}(K) = C^n(K) + \delta C(x^k(K), y^k(K))$... (4)

また (i, j) 点の濃度は $\bar{C}_{ij}^{n+1} = \bar{C}_{ij}^n + \delta C_{ij}^n$... (5) で計算される。次に、新しいtime stepでの粒子位置は $x^{n+1}(K) = x^n(K) + u(K)\Delta t$ (式(1)で $\partial C/\partial y$ の項も考慮するときには $y^{n+1}(K) = y^n(K) + v(K)\Delta t$) で計算する。計算のフローチャートは図-2に示す。

この計算法で生じる離散化誤差は非定常項と右辺の拡散項である。後者のオーダーは前報で検討しているように $O(\Delta x^2, \Delta y^2)$ であるが、通常 α 中心差分式に比べて1.5程度大きく、したがって拡散項が卓越する場合には不利となり検討を要する。移流項については、本法が個々の粒子の特性曲線上の濃度変化を計算する方法であるから問題は無いと言えよう。なお、N.Yotsukuraらは、開水路の移流分散simulationで、移流項の誤差防止のため、深さごとに特性曲線上で移流項を計算しているが、基本的には粒子法と同じ考え方といえる。しかしながら、この方法は流水が一方方向でない場合、各点ごとに特性曲線を考えなければならず、計算が面倒になるものと考えられる。

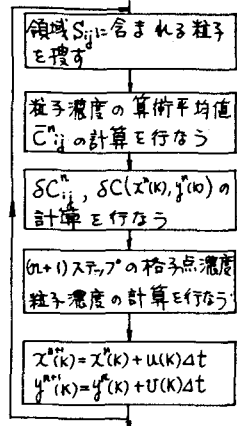


図-2 計算のフローチャート

計算例(1) 流速分布には対数分布を用いた: $\frac{u-\bar{u}}{u_*} = 2.5 + 2.5 \ln(y/R)$... (6), $R=20\text{cm}$, $\bar{u}=5.0\text{cm/s}$, $u_* = 0.48\text{cm/s}$, $\Delta x = 6.0\text{cm}$, $\Delta y = 1\text{cm}$, $\Delta t = 0.5 \times (\Delta x / u_{\max}) = 0.4838\text{sec}$,

x 方向の乱流拡散係数: $K_x(y)/R u_* = \{(R-y)/R\} / 2.5$... (7) とした。P.C.Chatwin⁷⁾

によると移流分散係数の評価には粘性底層を考慮する必要があり、数値計算においてはともこの効果を表わすモデルを作る必要がある。粘性底層の厚さ $\delta \in \delta = 5\nu / u_* = 5 \times 0.01 / 0.48 = 1.0\text{mm}$ とするとき $\Delta y = 1.0\text{cm}$ よりも十分に小さいから、ここでの計算例では粘性底層の効果は含まれていないことになる。図-3には $t=0\text{sec}$ で、 Δx 区間に水深方向に一樣に分布した tracer の経時変化を示している。差分間隔の制約が為、

十分に滑らかな等濃度線になっていないが、時間の経過とともに、移流の効果が発生する様子が理解できる。

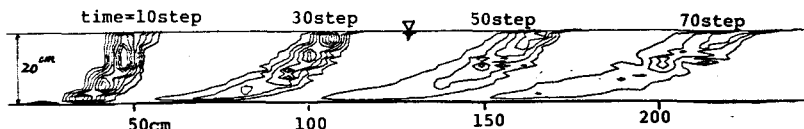


図-3 濃度分布の経時変化

図-4には断面平均濃度 $\bar{C}(x,t)$ の分散 $\sigma_x^2(t)$ を moment法 ; $\sigma_x^2(t) = \left\{ \frac{\sum C(x-\bar{x})^2 \Delta x}{\sum C \Delta x} \right\}$

…(8)によ、て求めてプロットした。移流分散係数 $D(t)$ は

$$D(t) = \frac{1}{2} \frac{d\sigma_x^2/dt}{dt} \text{で計算される。図中の勾配(b)を計算し、} D(t) \text{を求めると、} D(t) \approx 36 \text{ cm}^2/\text{sec} \text{ となった。J.W. Elderによる解析結果 ; } D = 5.93 \text{ 4.0} \text{ m}^2/\text{sec} \text{ を用いると } D \approx 57 \text{ cm}^2/\text{sec} \text{ となり、勾配(a)のよう} \rightarrow \leftarrow \text{に示さされる。この差異は、時間が十分に経過して} \rightarrow \leftarrow \text{いないこと他に、数値計算にもなる離散化誤差(特に水深方向の差分化で生じる誤差)の影響が含まれているのでは} \rightarrow \leftarrow \text{な} \rightarrow \leftarrow \text{ら} \rightarrow \leftarrow \text{ず} \rightarrow \leftarrow \text{ら} \rightarrow \leftarrow \text{ず、今後検討を要しよう。}$$

と、 $D(t) \approx 36 \text{ cm}^2/\text{sec}$ となった。J.W. Elderによる解析結果 ; $D = 5.93 \text{ 4.0} \text{ m}^2/\text{sec}$ を用いると $D \approx 57 \text{ cm}^2/\text{sec}$ となり、勾配(a)のよう

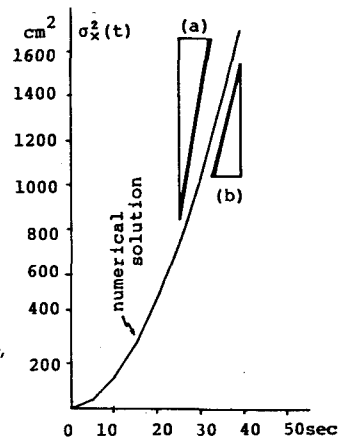


図-4 $\sigma_x^2(t)$ の時間変化

計算例(2) 図-5には、ケース(a) $14 \leq y \leq 20 \text{ cm}$, $18 \leq x \leq 24 \text{ cm}$, ケース(b) $8 \leq y \leq 14 \text{ cm}$, $18 \leq x \leq 24 \text{ cm}$, ケース(c) $0 \leq y \leq 6 \text{ cm}$, $18 \leq x \leq 24 \text{ cm}$ に 100%の初期濃度分布を与えた場合の計算例を示している。 $t=0$ での水深方向の濃度勾配が急で拡散項での離散化誤差が大きいため、等濃度線(5%きざみで描いている)の算定結果の精度は必ずしも良好でないが、放流位置が異なる

濃度分布の広がり様子もかなり違ってくるようである。
結び 本報では、剪断乱流のように移流効果の大きい流水の場における拡散現象と粒子移動法によって数値計算したが、適用上①定量的検討ができる計算例を精度良く求める=②拡散項の離散化誤差、また、初期濃度分布に依じた合理的差分間隔・粒子個数の選択③計算スケールを小さく

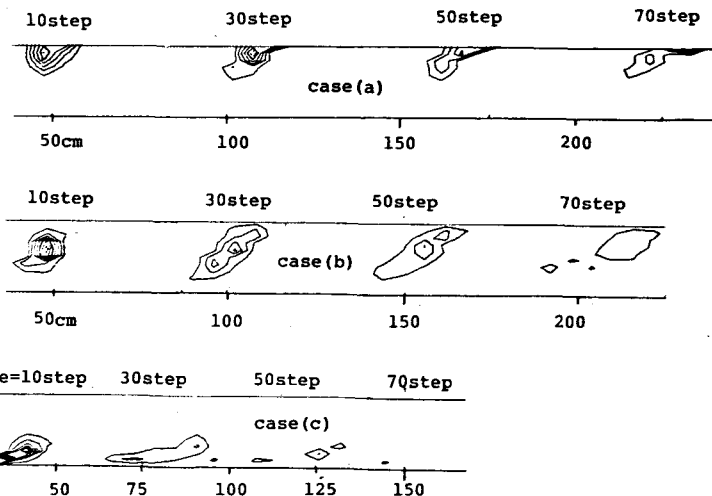


図-5 放流位置が濃度分布の経時変化に及ぼす影響

て、P.C.Chatwinのいう粘性底層の効果の検討、などの問題点が考えられた。今後はこのような問題の他に、種々の流況下での移流分散現象についても検討を加えたい。

参考文献 1) 福岡達二, 交通乱流中の物質の分散, 第19回水理講演会, pp.155~160 2) 島田晋, 移流分散現象の確率論的解析, 第24回水理講演会, pp.1~6 3) Y.Iwasa & S.Aga, Transfer Processes In Open Channel Flows, Third International Symposium on Stochastic Hydraulics (1980, Tokyo), pp.539~550 4) 数値解析(坪谷編), 才工社(86.50年), pp.59~72 5) N.Yotsukura & M.B.Fiering, Numerical Solution to a Dispersion Equation, ASCE, HY-5(1964) pp.83~104 6) 神野・上田, 粒子の移動による移流分散方程式の数値解法の検討, 土木学会論文集第271号(1978) pp.45~53 7) P.C.Chatwin, Interpretation of longitudinal dispersion experiments, J.Fluid Mech.,(1971) pp.689~702